

Optimization of Red Beet Color Extraction

Mahshad Lavarestagh¹, Nafiseh Zamindar², Yasaman Esmaeili³

1 Graduated Master, Department of Food Science and Technology, College Agriculture, Isfahan (Khorasgan) Branch, Islamic Azad University, Isfahan,Iran.

2 Associate Professor, Department of Food Science and Technology, College Agriculture, Isfahan (Khorasgan) Branch, Islamic Azad University, Isfahan,Iran.

3 Graduated Master, Department of Food Science and Technology, College Agriculture, Isfahan (Khorasgan) Branch, Islamic Azad University, Isfahan,Iran.

Corresponding author: E-mail: n.zamindar@khuisf.ac.ir

1. Introduction

The first quality characteristic received by a food consumer is visual characteristics. The apparent attributes of a product include its shape, color, packaging, size, and uniformity. The consumer considers the product's appearance in the first step before any other information about other characteristics, such as taste or smell, especially in the first purchase. Color is the most crucial indicator of the quality of food that affects consumer acceptance. To replace the color lost during the process, increasing the existing color and minimizing variation during processing; natural colors, synthetic and inorganic colorants are added to the food. Red beet is one of the most important natural sources of color; the essential pigment in this plant is betalain, composed of two sub-subunits, betacyanin, and betaxantine.

Considering the growing demand to develop more effective methods for extracting active compounds present in vegetable materials, including naturally occurring betalain and other nutritious compounds, this research was conducted to optimize the extraction conditions of this pigment from red beet.

2. Materials and methods

2.1. Preparation of red beet

The red beets were washed, peeled, and grated to prepare the sample. Then, red beets were dried in an oven at 30 °C for 48 hours and milled. For extraction, 10 grams of red beet pulp was mixed with 200 ml of solvent (water-ethanol with a 1:1 ratio) and subjected to ultrasonic at 37 kHz. Experiments in 27 runs were performed based on a historical data design, randomized subtype and quadratic model. After the implementation with the edition of Design Expert 7 software, the range of variables pH (3- 5), temperature (15- 25 °C), and time (10- 20 min) applied for extraction. The pulp was dried using a Wattman filter paper in an oven at 35 °C and used for subsequent tests.

2.2. Yield measurements

The efficiency of the extraction process was calculated by dividing the weight of the extract obtained by the weight of the beetroot.

2.3. Measurement of pigments

The betacyanin and betaxanthine pigments show maximum absorption in about 522-559 nm and 474-480 nm, respectively. To measure betacyanin and betaxanthine in extracts, a certain amount of powder was dissolved in distilled water, and its absorbance was measured at wavelengths of 530 and 480 nm. The number of pigments obtained from different extraction conditions was compared.

Results and discussion

In this study, the overall results showed that an increase in the extraction pH and time increased the extraction of betacyanine and betaxanthine. It would be better to extract betacyanine at temperatures below 25 °C since this pigment is sensitive to high temperatures, and at a temperature above, 25 °C will be destroyed. The maximum yield was observed when pH value, temperature, and time were 5, 21 °C, and 20 min, respectively. Comparison of experimental and predicted values of the proposed responses at the proposed optimal points by t-test showed no significant difference ($p < 0.05$). A quadratic model was suggested for the answers, and the lack of fit was not significant ($p < 0.05$). The extraction of betaline from red beet using the ultrasonic method causes a reduction in time, temperature, energy, and solvent consumption.

Conclusion

The maximum yield was observed when pH value, temperature, and time were 5, 21 °C, and 20 min, respectively. Comparison of experimental and predicted values of the optimal points showed no significant difference by t-test ($p < 0.05$). According to the results obtained from this research, ultrasonic extraction can be considered an efficient and fast method. Extraction of betalain from red beetroot with ultrasonic method is economical. It can replace the common forms of extraction in the industry due to the reduction of time, temperature, energy consumption, and solvent consumption, thus reducing recovery costs.

Keywords: Red Beet, Betacyanine, Betaxanthin, Response Surface Method

بهینه سازی شرایط استخراج رنگ از چغندر قرمز

مهشاد لوارستاق^۱، نفیسه زمین دار^۲، یاسمون اسمعیلی^۳

۱ دانش آموخته کارشناسی ارشد علوم و صنایع غذایی، دانشکده کشاورزی، دانشگاه آزاد اسلامی واحد اصفهان (خوارسگان)، اصفهان، ایران

۲ نویسنده مسئول: دانشیار، گروه علوم و صنایع غذایی، دانشکده کشاورزی، دانشگاه آزاد اسلامی واحد اصفهان (خوارسگان)، اصفهان، ایران

۳ دانش آموخته کارشناسی ارشد علوم و صنایع غذایی، دانشکده کشاورزی، دانشگاه آزاد اسلامی واحد اصفهان (خوارسگان)، اصفهان، ایران

نویسنده مسئول: پست الکترونیکی: n.zamindar@khuif.ac.ir

چکیده

به تازگی استفاده از رنگدانه‌های طبیعی به عنوان افزودنی غذایی، رنگ‌های خوراکی و دارو بسیار مورد توجه قرار گرفته است. چغندر قرمز سرشار از رنگدانه‌های بتالایین است. در این پژوهش به بررسی تاثیر متغیرهای مستقل دما، زمان و pH بر استخراج رنگدانه‌های بتالایین از چغندر قرمز پرداخته شده است. به منظور آماده سازی نمونه چندر شست و شو، پوست گیری و رنده شد. سپس چغندرهای قرمز به مدت ۴۸ ساعت در آون با دمای ۳۰ درجه سانتیگراد خشک و سپس آسیاب و آماده عصاره گیری شدند. عصاره گیری با استفاده از آب:اتانول با نسبت ۱:۱ به عنوان حلال انجام شد. تاثیر پارامترهای فرآیند استخراج شامل pH (۳-۵)، دما (۱۵-۲۵ درجه سانتی گراد و زمان (۲۰-۱۰ دقیقه بر بتاسیانین، بتاگزانتین و بازده کل مورد ارزیابی قرار گرفت. امواج فراصوت با فرکанс ۳۷kHz برای تسهیل استخراج به کار برد شد. جهت انتخاب شرایط از الگوریتم بهینه سازی روش سطح پاسخ استفاده شد. به طور کلی، نتایج نشان داد که افزایش pH و زمان استخراج باعث افزایش در مقادیر بازده، مواد جامد محلول کل، بتاسیانین، بتاگزانتین شد. در این پژوهش در pH برابر ۵، دمای ۲۱ درجه سانتی گراد و زمان ۲۰ دقیقه حداقل بازده مشاهده شد. تحت شرایط بهینه استخراج پیشنهاد شده توسط روش بهینه سازی، پارامترهای اندازه گیری شده با مقادیر پیش‌بینی شده تفاوت معنی داری نداشت ($p < 0.05$).

واژه‌های کلیدی: چغندر قرمز، بتاسیانین، بتاگزانتین، روش سطح پاسخ.

اولین خصوصیت کیفی که توسط یک مصرف کننده ماده غذایی دریافت می‌شود و مورد توجه قرار می‌گیرد خصوصیات ظاهری محصول می‌باشد. خصوصیات ظاهری یک محصول شامل خصوصیاتی مانند رنگ، شکل، نوع بسته بندی، اندازه، یکنواختی می‌باشند. در حقیقت مصرف کننده قبل از آن که هیچ گونه اطلاعی از سایر خصوصیات ماده غذایی از قبیل طعم یا بوی آن داشته باشد، در درجه اول ظاهر محصول را مورد توجه قرار می‌دهد. بنابراین خصوصیات ظاهری عامل مهم و تعیین کننده‌ای، مخصوصاً در اولین خرید از یک محصول یا عدم خرید آن هستند. در این میان رنگ مهمترین شاخص کیفی مواد غذایی است که پذیرش مصرف کننده را تحت تاثیر قرار می‌دهد. به منظور جایگزین کردن رنگ از دست رفته در طول فرآیند، افزایش رنگ موجود، به حداقل رساندن تغییرات در حین فرآوری و رنگ کردن غذای بدون رنگ؛ رنگ‌های طبیعی، شبه طبیعی، سنتزی و غیر آنی به مواد غذایی افزوده می‌شوند (Aberoumand, 2011).

اخیراً محدودیت بسیاری از جانب سازمان بین‌المللی و انسیتیووهای تحقیقاتی در مورد استفاده از مواد رنگزای مصنوعی خوراکی به ویژه رنگ قرمز مصنوعی بیان شده است (Downham et al., 2000). به همین دلیل تحقیقات وسیعی برای تهییه مواد رنگزای قرمز طبیعی به عنوان افزودنی‌های مجاز آغاز گردیده است و علاقه به مصرف رنگ‌های طبیعی را افزایش داده است زیرا رنگدانه‌های طبیعی معمولاً سالم‌تر یا بی‌ضررتر از رنگ‌های مصنوعی هستند (Cardoso-Ugarte et al., 2014). استفاده از رنگ‌های طبیعی علی‌رغم ثبات و قدرت رنگی کم‌تر نسبت به رنگ‌های مصنوعی؛ به دلیل این‌تر بودن و داشتن ارزش غذایی و مواد زیست فعال از جمله ویتامین‌های مختلف و همچنین داشتن خاصیت آنتی‌بیوتیکی و عدم اثرات مسمومیت زایی آن‌ها ترجیح داده می‌شوند. رنگ‌های طبیعی آنتی‌اکسیدان‌های تغذیه‌ای هستند و حضور آن‌ها در رژیم غذایی باعث کاهش خطر بیماری‌های قلبی عروقی، سرطان و بیماری‌های مرتبط با پیری می‌شود (ظهوری و همکاران، ۱۳۹۵). رنگ‌های طبیعی همه جا در طبیعت به خصوص در میوه‌ها و سبزیجات موجود هستند. با این حال انواع رنگ‌های طبیعی که به صورت تجاری در دسترس هستند نسبتاً کم هستند (Cardoso-Ugarte et al.,

(2014). یکی از مهم‌ترین منابع طبیعی رنگ، چغندر قرمز می‌باشد که می‌توان از آن مواد رنگزای قرمز طبیعی را به منظور استفاده در فرآورده‌های غذایی تهیه کرد. مهم‌ترین رنگدانه موجود در این گیاه بتالایین است. بتالایین‌ها رنگدانه‌های نیتروژن دار محلول در آب هستند که در غلظت‌های بالا در چغندر قرمز یافت می‌شوند. رنگدانه بتالایین از دو زیر واحد بتاسیانین^۱ (رنگدانه قرمز) و بتاگزانین^۲ (رنگدانه زرد) تشکیل شده است. (Delgado-Vargas et al., 2000).

بتالایین رنگ قرمز مطلوبی را به غذا اضافه می‌کند و کاربردهای زیادی در صنعت غذا مانند افزودنی در ژلاتین‌ها، دسرها، قنادی، محصولات نانوایی و غیره دارد. بتالایین به دلیل فعالیت‌های ضد ویروسی، ضد میکروبی و آنتی‌اکسیدانی توجه زیادی را به خود جلب کرده است (رنجبرندامانی، ۱۴۰۰). در مورد ایجاد رنگ زرد متمایل به نارنجی نیز بتاگزانین می‌تواند جایگزین کاروتونوئیدها شود (چنگیزی آشتیانی و همکاران، ۲۰۱۹).

بتاسیانین‌ها نیز یک گروه از ترکیبات هستند که فعالیت آنتی‌اکسیدانی و مهار رادیکال آزاد دارند (Escribano et al., 1998). با توجه به ارزان قیمت بودن کشت چغندر قرمز در ایران، استفاده از آن برای استخراج رنگدانه‌های طبیعی به صرفه است. مهم‌ترین کاربرد ماده رنگزای تهیه شده در محصولات سرد مانند بستنی، ماست، شربت یخی، رنگ کردن مسقاطی، پوشش شیرینی‌ها و کرم‌های وسط شیرینی می‌باشد، به دلیل قدرت رنگی زیاد این ماده، میزان افزودن آن در محصولات غذایی بسیار کم است. حد مجاز برای مصرف روزانه بتالایین از ۱۰ تا ۵۰ میلی‌گرم به ازا یک کیلوگرم غذا بیان شده است (Pavlov et al., 2005).

استخراج رنگدانه‌های طبیعی از جمله بتالایین‌ها معمولاً به وسیله استخراج جامد-مایع انجام می‌شود در این روش رنگدانه‌ها با آب و همچنین از طریق استفاده از محلول‌های متابولیک یا اتانول استخراج می‌شوند. با این حال معايب مربوط به این روش مانند زمان استخراج طولانی، آلودگی حلال و تولید نسبی پایین، محققان را به استفاده از تکنیک‌های فرآیند جدید که باعث بهبود کارآمدی فرآیند از طریق افزایش جرم انتقالی، پایداری رنگ طبیعی و سازگاری با محیط زیست می‌شود، تشویق می‌کند. استخراج با استفاده از فراصوت یکی از این روش‌هاست (Cardoso-Ugarte et al., 2014).

¹ Betacyanin

² Betaxanthin

مکانیسم اصلی استخراج با امواج فراصوت به پدیده کاویتاسیون مربوط می‌شود. با توجه به حساسیت رنگدانه‌ها نسبت به دماهای بالا، از مزایای روش فراصوت این است که استخراج در دماهای پایین را امکان‌پذیر می‌سازد (ظهوری و همکاران، ۱۳۹۵). از طرف دیگر، بالابردن کارایی و بازده سیستم‌ها در فرآیند استخراج بدون افزایش هزینه‌ها بسیار حائز اهمیت است. روش اجرایی که بدین منظور استفاده می‌گردد، بهینه‌سازی نامیده می‌شود و این عمل، یکی از مهمترین مراحل در طراحی و تحلیل سیستم‌ها است. روش سطح پاسخ مجموعه‌ای از تکیک‌های ریاضی و آماری است که جهت توسعه، پیشبرد و بهینه‌کردن فرآیندهایی به کار می‌رود که در آنها سطح مورد نظر تحت تأثیر متغیرهای بسیاری قرار داشته و هدف، بهینه‌کردن پاسخ مزبوراست. روش سطح پاسخ کاربرد قابل توجهی در طرح‌ریزی، توسعه، فرموله کردن محصولات جدید غذایی و همچنین ارتقای طراحی محصولات موجود دارد (Bas et al., 2007).

لاکوی ویلکا^۱ و همکاران (۲۰۱۸) بتالایین را از پوسته کینوآ رنگی (تیره تاج خروسیان) از طریق استخراج آبی با کمک فراصوت استخراج و به وسیله روش سطح پاسخ بهینه‌کردن سپس پایداری حرارتی بتالایین‌ها را بررسی کردند. آن‌ها به این نتیجه رسیدند که استخراج بتالایین از پوسته کینوآی رنگی می‌تواند در زمان فرآیند بسیار کوتاه ۹/۲ و ۴۰ ثانیه به ترتیب برای نمونه‌های حاوی بتاسیانین و بتاگزانتین انجام شود. عصاره‌های تهیه شده به وسیله فراصوت نیز به همان میزان پایدار یا پایدارتر از نمونه‌های استخراج شده از ریشه چغندر هستند و حاوی مقادیر کمی ساپونین می‌باشند (Laqui-Vilca et al., 2018).

با توجه به تقاضای رو به رشد برای توسعه روش‌های کارآمدتر و موثرتر برای استخراج ترکیبات فعال موجود در مواد گیاهی همچنین ارزان قیمت بودن کشت چغندر قرمز در ایران و اینکه عصاره چغندر قرمز غنی از رنگدانه طبیعی بتالایین و سایر ترکیبات مغذی است، استخراج بتالایین از چغندر قرمز با استفاده از روش فراصوت، به حداقل رساندن بازده و بهینه سازی شرایط استخراج این رنگدانه ارزشمند به روش سطح پاسخ بسیار مهم و هدف از این پژوهش می‌باشد.

^۱ Laqui-Vilca

مواد و روش‌ها

آماده سازی چغندر قرمز

به منظور آماده سازی نمونه، ابتدا شست و شو، جداسازی آلودگی‌ها، پوست گیری و رنده کردن چغندر قرمز انجام شد سپس چغندرهای قرمز به مدت ۴۸ ساعت در آون با دمای ۳۰ درجه سانتیگراد خشک و سپس آسیاب و آماده عصاره گیری شدند. جهت عصاره گیری ۱۰ گرم پودر چغندر قرمز به همراه ۲۰۰ میلی لیتر از حلال آب:اتانول با نسبت ۱:۱ مخلوط و سپس به مدت ۲۰ دقیقه بدون اعمال حرارت در معرض فراصوت (مدل Parsonic30s، ساخت کشور ایران) با فرکанс ۳۷ کیلوهرتز قرار داده شد. تیمارها در ۲۷ آزمایش به روش سطح محدوده متغیرهای pH ، دما و زمان به صورت جدول ۱ برای استخراج مورد بررسی قرار گرفت. تفاله چغندر بدست آمده با استفاده از کاغذ صافی واتمن شماره ۱ جدا شد و در آون با دمای ۳۵ درجه سانتی گراد خشک شد و برای آزمون‌های بعدی مورد استفاده قرار گرفت

.(De Sotillo et al., 1994)

اندازه گیری بازده

بازده فرآیند استخراج از طریق تقسیم وزن عصاره بدست آمده بر وزن ریشه چغندر استفاده شده محاسبه گردید .(Lee et al., 2006)

$$\frac{\text{وزن عصاره}}{\text{وزن ریشه چغندر}} \times 100 = \text{بازده} \quad \text{معادله (۱)}$$

اندازه گیری میزان رنگدانه‌ها

رنگدانه بتاسیانین در حدود ۵۲۲-۵۳۴ نانومتر و رنگدانه بتاگزانتین در محدوده ۴۸۰-۴۷۴ نانومتر دارای حداقل جذب می‌باشند. برای اندازه گیری میزان بتاسیانین و بتاگزانتین در عصاره‌ها مقدار مشخصی از پودر حاصل در آب دوبار تقطیر حل شد و جذب آن در طول موج‌های ۵۳۰ و ۴۸۰ نانومتر اندازه گیری شد. میزان رنگدانه‌های بدست آمده از شرایط مختلف با هم مقایسه شد. در این معادله برای اندازه گیری بتاسیانین از طول موج ۵۳۰ نانومتر و

ضریب جذب مولکولی و برای بتاگزانتین از طول موج ۴۸۰ نانومتر و ضریب جذب مولکولی استفاده شده است.

(Hendry et al., 1996)

$$C = \frac{A}{ab} \quad \text{معادله (۲)}$$

C: میزان رنگدانه ($\mu\text{g/g}$)

A: جذب نمونه

ضریب جذب مولکولی: a

b = 1 cm

جامعه آماری و روش تجزیه و تحلیل اطلاعات

در این مطالعه روش سطح پاسخ در قالب طرح هیستوریکال دیتا از نوع تصادفی برای پیش‌بینی تاثیر متغیرهای فرآیند بر استخراج رنگدانه‌های بتالایین از چغندر قرمز به روش فراصوت به کار برد شد. تیمارها در ۲۷ آزمایش بر اساس طرح مطالعه چیده شدند و نوع مدل بررسی درجه دو (کوادراتیک) در نظر گرفته شد. متغیرهای مستقل مورد استفاده شامل pH (۳-۵)، دما (۱۵-۲۵ درجه سانتی گراد) و زمان (۱۰-۲۰ دقیقه) و پاسخ‌های اندازه‌گیری شده شامل بتاسیانین، بتاگزانتین و بازده کل بودند. آنالیز داده‌ها و رسم نمودارها با استفاده از نسخه ۷ نرمافزار Design Expert صورت پذیرفت. تجزیه واریانس برای ارزیابی اثرات معنی‌دار متغیرهای فرآیند بر هریک از پاسخ‌ها انجام شد. با انجام آنالیز رگرسیون چند متغیره، مدل‌های مختلف بر اساس R^2 پیش‌بینی شده و R^2 اصلاح شده مقایسه شد، به صورتی که مدلی که دارای بیشترین مقادیر این فاکتورها باشد دارای دقت بیشتری خواهد بود. آنالیز واریانس برای تعیین عدم برآش و معنی دار بودن اثرات خطی، درجه دوم و برهمکنش متغیرهای مستقل بر متغیرهای وابسته نیز صورت گرفت اگر مقدار P برای آزمون عدم برآش بزرگتر مساوی ۰/۰۵ بود به معنای کافی بودن مدل برای پیش‌بینی پاسخ مورد نظر بود. سطوح متغیرهای مورد بررسی و تیمارهای مورد استفاده در آزمایش به ترتیب در جدول ۱ و ۲ نشان داده شده

است. پس از بهینه سازی شرایط برای بیشترین میزان بتاگرانتین و بتاسیانین و بازده (با درجه اهمیت یکسان) در محدوده آزمون برای متغیرهای مستقل با توجه به نقاط بهینه بدست آمده برای استخراج، مجدد استخراج انجام شد و فاکتورهای مورد بررسی برای فرمولاسیون بهینه پیشنهادی با مطلوبیت ۰/۹۷ طبق جدول ۴ تعیین شد. مقایسه بین پاسخهای آزمایشگاهی بدست آمده برای نقاط بهینه با پاسخ پیش بینی شده نرم افزار با آزمون تی استیودنت^۱ ($p < 0.05$) انجام شد. به منظور کاهش خطا کلیه آزمایش ها برای هر نقطه در ۳ تکرار انجام شد.

جدول ۱- نمایش متغیرهای مستقل فرآیند و مقادیر آنها

Table 1- Levels of independent variables in different treatments

متغیرهای مستقل independent variables	سطح Levels	
	-1	+1
pH	۳	۵
دما Temperature	۱۵	۲۰
زمان Time	۱۰	۱۵

جدول ۲- تیمارهای مربوط به استخراج عصاره از چغندر قرمز

Table 2- Treatments for red beetroot extraction

زمان(min)	دما(°C)	pH	تیمار	زمان(min)	دما(°C)	pH	تیمار

^۱T student

Time	Temperature	Treatment	Time	Temperature	Treatment
۲۰	۲۰	۴	۱۵	۱۰	۱۰
۱۰	۲۵	۴	۱۶	۱۵	۳
۱۵	۲۵	۴	۱۷	۲۰	۳
۲۰	۲۵	۴	۱۸	۱۰	۳
۱۰	۱۵	۵	۱۹	۱۵	۲
۱۵	۱۵	۵	۲۰	۲۰	۶
۲۰	۱۵	۵	۲۱	۱۰	۷
۱۰	۲۰	۵	۲۲	۱۵	۸
۱۵	۲۰	۵	۲۳	۲۰	۹
۲۰	۲۰	۵	۲۴	۱۰	۱۰
۱۰	۲۵	۵	۲۵	۱۰	۱۱
۱۵	۲۵	۵	۲۶	۲۰	۱۲
۲۰	۲۵	۵	۲۷	۱۰	۱۳
			۱۵	۲۰	۱۴

نتایج و بحث

پس از آنالیز داده‌ها توسط برنامه Design expert جهت تعیین بهترین مدل پیشنهادی از میان پنج مدل موجود با توجه به جدول تجزیه واریانس، مدلی که مقدار میانگین مربعات^۱ آن دارای اختلاف معنی‌دار بوده و مقدار عدم برآشش^۱ آن معنی

^۱ Sum of square

دار نشود به عنوان بهترین مدل انتخاب می‌شود. با توجه به این موضوع و پس از بررسی نتایج بدست آمده و مقایسه میان مدل‌های رگرسیونی نتایج حاکی از آن بود که مدل کوآدراطیک (درجه دو)^۲ برای تمامی آزمون‌های اندازه‌گیری شده در این مطالعه، دارای اختلاف معنی دار با سایر مدل‌ها بود.

بازده

مقدار بازده بدست آمده در مرحله آزمایشگاهی با مقدار پیشگویی شده توسط مدل به طریق آماری مقایسه شد در این بررسی مقادیر مشاهده شده (Y_0) با مقادیر پیش‌بینی شده (\hat{Y}) مقایسه گردید و نتایج بیانگر همبستگی بسیار خوب بین نتایج بدست آمده با روش تجربی و مقادیر پیش‌بینی شده با روش آماری بود. با توجه به اینکه کلیه پارامترها دارای اثر معنی داری در مدل بودند ($p < 0.05$) بنابراین با توجه به پارامترهای معنی دار شده، معادله ۳ مدل پیشنهادی برای این پاسخ به صورت چند جمله‌ای درجه دوم است.

معادله (۳)

$$Yield = 254/17 + 12/09A + 6/01B + 24/38C + 0/032AB + 0/58AC + 7/70 \times 10^{-3}BC - 2/03A^2 - 0/15B^2 - 0/68C^2$$

در این معادله متغیرهای (A) pH، (B) دما و (C) زمان می‌باشند.

¹ Lack of fit

² Quadratic

جدول ۳- آنالیز واریانس پاسخ بازده، استخراج رنگدانه بتا سیانین و بتا کزانین

Table 3- Variance analysis of yield, β - Cyanine and β -Xanthine Extraction

Source of changes منبع تغییرات	بازده Yield	بتا سیانین β - Cyanine	بتا کزانین β -Xanthine	میانگین مربعات Mean squares
Degree of Freedom درجه آزادی	Mean squares میانگین مربعات	Degree of Freedom درجه آزادی	Mean squares میانگین مربعات	Degree of Freedom درجه آزادی
مدل	۹ ۲۱۹۳/۹۹****	۹ ۰/۳۹***	۹ ۰/۲۱****	۱۰۰۴****
A-pH	۱ ۴۸۱/۳۳****	۱ ۰/۰۰۰۰۵ ns	۱ ۰/۰۰۰۰۵ ns	۰/۰۲۹****
B-دما	۱ ۱۰/۸۷ ns	۱ ۰/۰۰۰۰۵ ns	۱ ۰/۰۰۰۰۵ ns	۰/۰۱۶ ns
C-زمان	۱ ۱۷۲۵/۷۰****	۱ ۱۲/۱۰****	۱ ۰/۰۰۰۰۵ ns	۰/۰۷۷****
AB	۱ ۰/۳۰۷۲ ns	۱ ۰/۰۰۶۵ ns	۱ ۰/۰۰۶۵ ns	۰/۰۰۰۰۸ ns
AC	۱ ۱۰۱/۹۱****	۱ ۰/۰۶۴۵ *	۱ ۰/۰۶۴۵ *	۰/۰۸۵ ns
BC	۱ ۰/۰۴۴ ns	۱ ۰/۰۰۰۰۵ ns	۱ ۰/۰۰۰۰۵ ns	۰/۰۱۹۲ *
A^2	۱ ۲۴/۹۴ *	۱ ۰/۰۲۶۲ ns	۱ ۰/۰۰۰۰۵ ns	۰/۰۰۰۰۰ ns
B^2	۱ ۸۷/۲۷ **	۱ ۰/۱۰۰۵ **	۱ ۰/۰۰۰۰۵ ns	۰/۰۲۳۶ *
C^2	۱ ۱۷۸۱/۷۰ ***	۱ ۰/۰۰۰۰۸۷ ns	۱ ۰/۰۰۰۰۸۵ ns	۰/۰۱۲۹ ****
Residual باقي مانده	۱۷ ۳/۹۱	۱۷ ۰/۰۰۰۰۸۵	۱۷ ۰/۰۰۰۰۸۵	۰/۰۰۰۰۴۱
Total مجموع	۲۶	۲۶	۲۶	

Lack of fit عدم	✓	٠/٠٠٠٥٣٤ ns	✓	٠/٠٠٦٩٦ ns	✓	٠/٠٠٠٥ ns
برازش						

****: اختلاف معنی دار در سطح ٠٠٠١ درصد **: اختلاف معنی دار در سطح ٠٠١ درصد، *: اختلاف معنی دار در سطح ٠٠٥ درصد، ns: عدم وجود اختلاف معنی دار

***: significant difference at the 0.1%, **: significant difference at the 1% level, *: Significant difference at the 5%.

ns: no significant difference

جدول ٣ نتایج آنالیز واریانس را برای ارزیابی پارامتر پاسخ بازده چغندر قرمز در مورد مدل درجه دوم با آثار متقابل نشان می دهد.

چنانچه مشاهده می گردد مقدار ضریب تبیین (R^2) برابر با ٠/٩٩٦٦ بیانگر تطبیق زیاد نتایج مدل با نتایج

تجربی است. R^2 متعادل شده در این مدل ٠/٩٩٤٩ می باشد که نشان می دهد تنها ٥١٪ درصد از متغیرهای کل به

وسیله مدل توجیه نشده اند. R^2 پیش پیش شده در این مدل برابر ٠/٩٨٩٥ است که متناسب با R^2 متعادل شده می باشد.

همچنین عدم برازش در این مدل ٤/١٥ است و بیانگر آن است که عدم برازش مدل معنادار نیست ($P > 0.05$). به عبارت

دیگر مدل، داده های تجربی را برازش می کند. پارامتر های pH و زمان دارای اثر معنی داری بر پاسخ بازده چغندر

هستند اما دما اثر معنی داری بر پاسخ بازده ندارد. مقدار P-value مربوط به آثار متقابل جمله AC کمتر از ٠/٠٥ است

(٠/٠١) بنابراین تاثیر معنا داری بر مدل دارد. در مورد جمله درجه دوم C^2 (درجه دوم پارامتر زمان) B^2 (درجه دوم

پارامتر دما) مقدار P-value کمتر از ٠/٠٥ است و تاثیر معناداری بر مدل دارد.

در فرآیند استخراج از ماتریس گیاهی، با گذشت زمان همواره میزان ترکیبات استخراج شده (بازدهی کل) که شاخص

کمی است، افزایش می یابد علت آن است که باید برای ایجاد حفره در غشای سلول های چغندر زمان کافی داده شود تا

با ایجاد حفره در غشا استخراج راحت تر صورت گیرد به همین دلیل در این پژوهش هر چه زمان افزایش پیدا کرد

استخراج بیشتری صورت گرفت همچنین افزایش دما تا ٢٠ درجه باعث افزایش استخراج رنگدانه ها شد و در دمای

بالاتر از ٢٠ درجه کاهش استخراج مشاهده شد زیرا رنگدانه ها به حرارت حساس هستند و حرارت بالا باعث تخریب

رنگدانه ها می شود. این در حالی است که، اگر چه میزان ترکیبات زیست فعال که شاخص کیفی است، در ابتدای استخراج افزایش می یابد اما پس از آن ممکن است به دلیل تخریب حرارتی کاهش ترکیبات زیست فعال و در نتیجه خاصیت آنتی اکسیدانی رخ دهد. در این پژوهش، حداکثر بازدهی در pH ۵ برابر ۲۰ درجه سانتی گراد و زمان ۲۰ دقیقه حاصل شده است. سیلووا و همکاران (۲۰۱۸) مشاهده کردند شرایط بهینه برای استخراج بتاسیانین ها و بتازانین ها در دماهای ۵۲ و ۳۷ درجه سانتی گراد، با زمان استخراج ۹۰ دقیقه، با استفاده از ۲۵ درصد اتانول در آب به عنوان حلال می باشد. تحت این شرایط، غلظت بتاسیانین (۴/۲ میلی گرم در گرم) و بتاگراناتین (۲/۸۰ میلی گرم در گرم) همچنین غلظت ترکیبات فنلی و فعالیت آنتی اکسیدانی بالاتر از غلظت های موجود در عصاره گیری های معمولی بود.

بتاسیانین

معادله ۴ مدل پیشنهادی برای این پاسخ به صورت چند جمله ای درجه دوم است.

معادله (۴)

$$\text{Betacyanine} = 3/73 + 0/32A + 0/18B + 0/15C + 4/66 \times 10^{-3}AB + 0/014AC - 6/66 \\ \times 10^{-5}BC - 0/66A^2 - 5/17 \times 10^{-3}B^2 - 1/51 \times 10^{-3}C^2$$

در این معادله متغیر های (A) pH، (B) دما و (C) زمان می باشند.

جدول ۳ نتایج آنالیز واریانس را برای ارزیابی پارامتر پاسخ استخراج رنگدانه بتاسیانین چغندر قرمز در مورد مدل درجه دوم با آثار متقابل نشان می دهد. چنانچه مشاهده می گردد پارامتر های pH و زمان اثر معنی داری بر پاسخ استخراج رنگدانه بتاسیانین از چغندر قرمز دارند اما دما اثر معنی داری بر پاسخ استخراج رنگدانه بتاسیانین ندارد. جمله درجه دوم (درجه دوم پارامتر دما) دارای مقدار P-value کمتر از ۰/۰۵ است ($P < 0/0031$) و تاثیر معناداری بر مدل دارد. عدم برازش مدل با مقدار ۴/۳۹، معنادار نیست ($P > 0/05$) و به عبارت دیگر مدل داده های تجربی را برازش می کند. مقدار ضریب تبیین (R^2) برابر با ۰/۹۸۶ است و بیانگر تطبیق زیاد نتایج مدل با نتایج تجربی است. R^2 متعادل شده در این

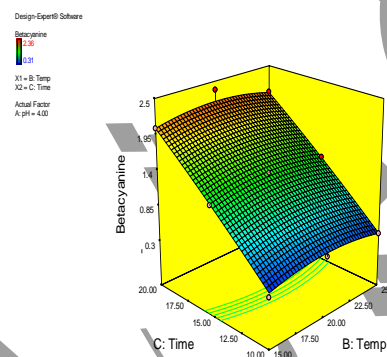
مدل ۹۸۲۶/۰ می باشد که نشان می دهد تنها ۱/۷۴ درصد از متغیرهای کل به وسیله مدل توجیه نشده اند. R^2 پیش بینی

شده در این مدل برابر ۹۶۶۶/۰ است که متناسب با R^2 متعادل شده می باشد.

در شکل (۱) اثر متقابل دما و زمان در pH ثابت ۴ بر روی استخراج بتاسیانین مشاهده می شود. نمودار از دمای ۲۰ درجه

به بعد حالت نزولی پیدا کرده و کاهش میزان استخراج رنگدانه بتاسیانین را نشان می دهد. بیشترین میزان استخراج

رنگدانه بتاسیانین در دمای ۲۰ درجه سانتی گراد و زمان ۲۰ دقیقه می باشد.



شکل ۱- اثر متقابل دما و زمان بر استخراج رنگدانه بتاسیانین در pH ثابت ۴

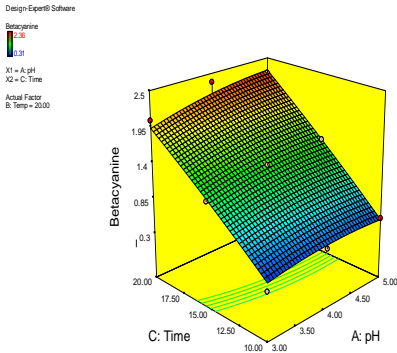
Fig 1- The interaction of independent variables on extraction of β -cyanin at pH=4

شکل (۲) اثر متقابل pH و زمان بر استخراج رنگدانه بتاسیانین را در دمای ثابت ۲۰ درجه سانتی گراد نشان می دهد.

افزایش pH از ۳ به ۵ سبب افزایش استخراج رنگدانه بتاسیانین شده است و افزایش زمان از ۱۰ به ۲۰ همین نتیجه را به

دنبال داشته و سبب افزایش استخراج رنگدانه بتاسیانین از چوندر قرمز شده است. طبق نتایج به دست آمده بیشترین

استخراج رنگدانه در pH برابر ۵ و زمان ۲۰ دقیقه بوده است.



شکل ۲- اثرات متقابل pH و زمان بر استخراج رنگدانه بتاسیانین در دمای ثابت ۲۰ درجه سانتی گراد

Fig 2- The interaction of independent variables on extraction of β -cyanin at 20 °C

شکل (۳ الف) اثرات متقابل pH و دما بر استخراج رنگدانه بتاسیانین را در زمان ثابت ۱۰ دقیقه نشان می‌دهد. مشاهده

می شود که افزایش pH سبب افزایش میزان استخراج رنگدانه می شود. در افزایش pH از ۳ به ۵ بیشترین میزان

استخراج رنگدانه مشاهده گردید. با افزایش دما از ۱۵ درجه به ۲۰ درجه بیشترین استخراج رنگدانه و از ۲۰ درجه به

بعد کاهش استخراج رنگدانه مشاهده گردید. شکل (۳ب) اثرات متقابل pH و دما بر استخراج رنگدانه بتاسیانین را در

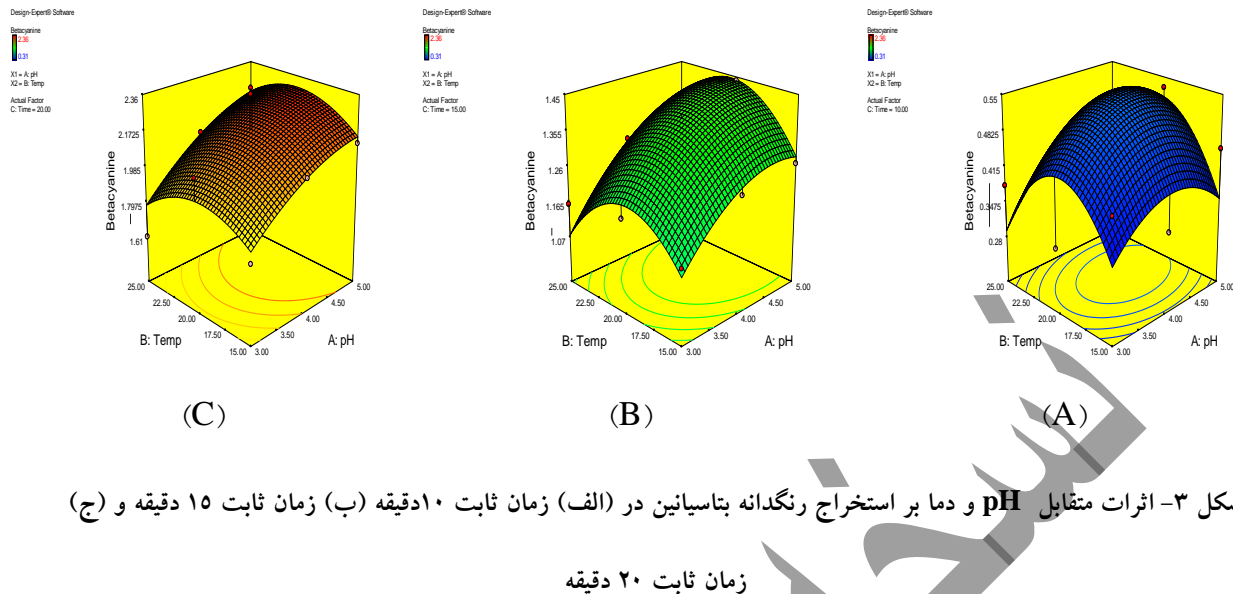
زمان ثابت ۱۵ دقیقه نشان می‌دهد. مشاهده می شود که هرچه pH افزایش می یابد (از ۳ به ۵) میزان استخراج رنگدانه

بیشتر می شود. در زمان ثابت ۱۵ دقیقه هرچه دما افزایش یافته است میزان استخراج رنگدانه بتاسیانین بیشتر شده است.

شکل (۳ ج) اثرات متقابل pH و دما بر استخراج رنگدانه بتاسیانین را در زمان ثابت ۲۰ دقیقه نشان می‌دهد. هرچه pH

افزایش می یابد میزان استخراج رنگدانه بیشتر می شود و بیشترین استخراج در pH برابر ۵ مشاهده گردید. در زمان ثابت

۲۰ دقیقه هرچه دما افزایش می یابد میزان استخراج رنگدانه بتاسیانین بیشتر می شود.



شکل ۳- اثرات متقابل pH و دما بر استخراج رنگدانه بتاسیانین در (الف) زمان ثابت ۱۰ دقیقه (ب) زمان ثابت ۱۵ دقیقه و (ج) زمان ثابت ۲۰ دقیقه

Fig3- The interaction of independent variables on extraction of β -cyanin in A) 10 min B) 15 min and C) 20 min

در میان فاکتورهای مختلف دما بحرانی ترین فاکتور است که روی تجزیه بتالائین ها اثر می گذارد. نتایج نشان می دهد بهترین دما برای استخراج دمای ۲۰ درجه است از این رو در دماهای پایین تر از ۲۵ درجه سانتی گراد بیشترین پایداری مشاهده می شود زیرا رنگدانه موجود در چغندر به حرارت حساس بوده و تجزیه می گردد. بنابراین می توان بیان کرد که مشاهده افزایش میزان بتاسیانین که با افزایش دما در ابتدا شاهد آن هستیم می تواند به دلیل نرم شدن بافت گیاه، ترشح موثرتر ترکیبات زیست فعال از اجزای ماتریکس و افزایش نفوذپذیری دیواره سلولی در سلول ها باشد. پس افزایش دما به افزایش حلالیت رنگدانه و افزایش ضریب انتشار کمک می کند که به افزایش سرعت استخراج نیز منجر می شود (Maran et al., 2013). اما کاهش میزان بتاسیانین که در دماهای بالاتر از ۲۰ درجه سانتی گراد مشاهده می شود می تواند به دلیل تجزیه رنگدانه ها باشد. دما به طور اغلب باعث اکسیداسیون (مانند دهیدروژنه شدن در حضور اکسیژن)، هیدرولیز پیوند آلدیمین و دکربوکسیله شدن بتالائین ها می شود که در نتیجه رنگ آن ها به نارنجی - زرد تغییر می کند. نتایج نشان داد که بالاترین پایداری عصاره استخراج شده در $\text{pH} 5$ بدست می آید زیرا این رنگدانه ها در $\text{pH} 3$ تا ۷ بیشترین پایداری را نشان می دهند. بتاسیانین ها در شرایط اسیدی بیشترین پایداری را دارند. در $\text{pH} 3$ تا ۷ رنگ

بتالائین‌ها تغییر نمی‌کند. وقتی که pH به زیر ۳ می‌رسد ساختار بتالائین‌ها از رنگ قرمز آبیونی به بنفش کاتیونی تبدیل می‌شود. شرایط قلیایی (pH بالاتر از ۷) موجب هیدرولیز پیوند آلدیمین می‌شود که نتیجه تخریب سریع بتالائین‌ها به بتالامیک اسید و سیکلودوپا-۵-O-گلوکوزید و تغییر رنگ به زرد-قهوه‌ای است. نتایج به دست آمده درمورد اثر pH و دما روی رنگدانه با نتایج فخاری زواره و همکاران (۱۳۸۸) مطابقت داشت. آن‌ها در مورد اثر pH بر رنگ بتانین مشاهده کردند که در pH کمتر از ۴ رنگ قرمز بتانین به بنفش تبدیل می‌شود و در pH بالاتر از ۶ رنگ محلول‌های حاوی بتانین آبی می‌شود. بیشترین اثر آبی شدن در pH برابر ۸ رخ می‌دهد، تحت شرایط قلیایی قوی‌تر به سرعت به رنگ قهوه‌ای تغییر کرده و بتانین از بین می‌رود. زمان همواره میزان ترکیبات استخراج شده را فرایش می‌دهد علت آن است که باید برای ایجاد حفره در غشای سلول‌های چوندر زمان کافی داده شود تا با ایجاد حفره در غشا استخراج راحت‌تر صورت گیرد به همین دلیل در این پژوهش هرچه زمان افزایش پیدا کرد استخراج بیشتری صورت گرفت. لاکی ویلکا و همکاران (۲۰۱۸) در ارتباط با اثر زمان روی استخراج بتالائین از میوه کینوا بیان کردند که با افزایش زمان استخراج میزان بتالائین استخراج شده نیز افزایش می‌یابد.

بتاگزانین

معادله ۵ مدل پیشنهادی برای این پاسخ به صورت چند جمله‌ای درجه دوم است.

معادله (۵)

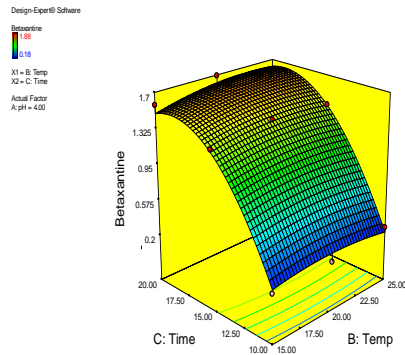
$$\begin{aligned} \text{Betaxantine} = & -4/63 - 0/13A + 0/07B + 0/56C + 1/66 \times 10^{-3}AB + 0/016AC \\ & + 1/6 \times 10^{-3}BC - 2/77 \times 10^{-3}A^2 - 2/51 \times 10^{-3}B^2 - 0/017C^2 \end{aligned}$$

در این معادله متغیرهای (A) pH، (B) دما و (C) زمان می‌باشند.

جدول ۳ نتایج آنالیز واریانس را برای ارزیابی پارامتر پاسخ استخراج رنگدانه بتاگزانین چوندر قرمز درمورد مدل درجه دوم با آثار متقابل نشان می‌دهد. همان طور که مشاهده می‌گردد پارامترهای pH و زمان اثر معنی داری بر پاسخ استخراج بتاگزانین از چوندر قرمز دارند اما دما اثر معنی داری بر این پاسخ ندارد. مقدار P-value مربوط به آثار متقابل

جمله AC کمتر از $0/05$ است ($p<0/0003$). بنابراین تاثیر معنا داری بر مدل دارد. جمله درجه دوم C^2 (درجه دوم پارامتر زمان) دارای مقدار P-value کمتر از $0/05$ است ($p<0/001$) و تاثیر معناداری بر مدل دارد. عدم برازش در این مدل با مقدار $25/4$ معنادار نیست ($P>0/05$) و به عبارت دیگر مدل داده های تجربی را برازش می کند. مقدار ضریب تبیین (R^2) برابر با $0/9926$ است و بیانگر تطبیق زیاد نتایج مدل با نتایج تجربی است. R^2 متعادل شده در این مدل $0/9887$ می باشد که نشان می دهد تنها $1/13$ درصد از متغیرهای کل به وسیله مدل توجیه نشده اند. R^2 پیش بینی شده در این مدل برابر $0/9792$ است که متناسب با R^2 متعادل شده می باشد.

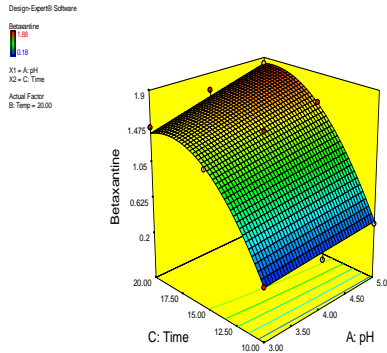
در شکل (۴) اثر متقابل دما و زمان در pH ثابت ۴ بر روی استخراج بتاگزانتین مشاهده می شود. افزایش دما تا 20 درجه سانتی گراد اثر معناداری بر میزان استخراج رنگدانه بتاگزانتین دارد و از دمای 20 درجه به بعد افزایش دما باعث کاهش استخراج بتاگزانتین می شود. همچنین افزایش زمان اثر معناداری بر میزان استخراج رنگدانه بتاگزانتین دارد. بیشترین میزان استخراج رنگدانه بتاگزانتین در زمان 20 دقیقه می باشد. بیشترین میزان استخراج رنگدانه در دمای 20 درجه می باشد.



شکل ۴- اثر متقابل دما و زمان بر استخراج رنگدانه بتاگزانتین در pH ثابت ۴

Fig 4- The interaction of independent variables on extraction of β -Xanthine at pH=4

شکل (۵) اثر متقابل pH و زمان بر استخراج رنگدانه بتاگزانتین را در دمای ثابت ۲۰ درجه سانتی گراد نشان می‌دهد. در نتایج آنالیز واریانس نیز مشاهده گردید افزایش pH اثر معنی‌داری ($P < 0.05$) بر مدل و میزان استخراج رنگدانه بتاگزانتین دارد. افزایش pH از ۳ به ۵ سبب افزایش استخراج رنگدانه بتاگزانتین شده است و افزایش زمان از ۱۰ به ۲۰ همین نتیجه را به دنبال داشته و سبب افزایش استخراج رنگدانه بتاگزانتین از چغندر قرمز شده است. چنانچه مشاهده می‌شود افزایش pH و افزایش زمان سبب افزایش استخراج رنگدانه بتاگزانتین شده است و بیشترین استخراج این رنگدانه در pH برابر ۵ و زمان برابر ۲۰ دقیقه مشاهده شد.



شکل ۵- اثرات متقابل pH و زمان بر استخراج رنگدانه بتاگزانتین در دمای ثابت ۲۰ درجه سانتی گراد

Fig5- The interaction of independent variables on extraction of β -Xanthine at 20 °C

شکل (۶) (الف) اثرات متقابل pH و دما بر استخراج رنگدانه بتاگزانتین را در زمان ثابت ۱۰ دقیقه نشان می‌دهد. مشاهده

می‌شود که افزایش pH سبب افزایش میزان استخراج رنگدانه می‌شود و بیشترین میزان استخراج رنگدانه در افزایش pH

از ۳ به ۵ مشاهده گردید. با افزایش دما از ۱۵ درجه به ۲۰ درجه بیشترین استخراج رنگدانه و از ۲۰ درجه به بعد کاهش

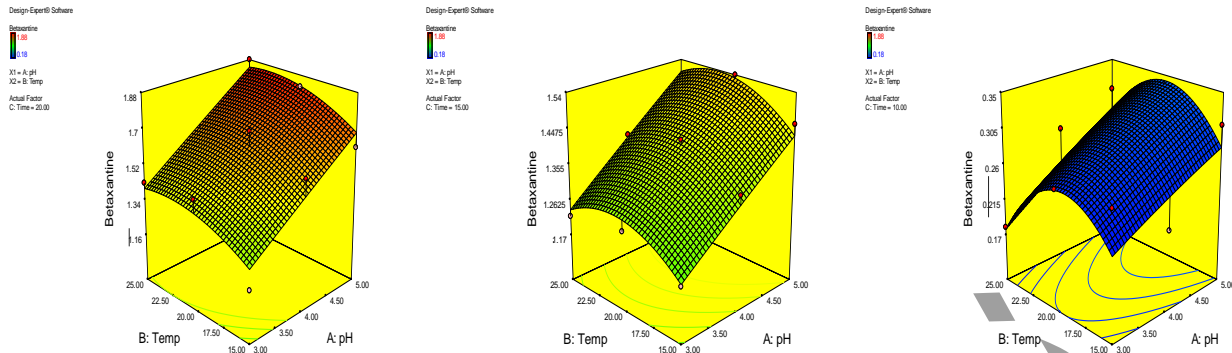
استخراج رنگدانه مشاهده گردید. شکل (۶) (ب) اثرات متقابل pH و دما بر استخراج رنگدانه بتاگزانتین را در زمان ثابت

۱۵ دقیقه نشان می‌دهد. مشاهده می‌شود که هرچه pH و دما افزایش می‌یابد میزان استخراج رنگدانه بیشتر می‌شود.

شکل (۶) (ج) اثرات متقابل pH و دما بر استخراج رنگدانه بتاگزانتین را در زمان ثابت ۲۰ دقیقه نشان می‌دهد. هرچه pH

افزایش می‌یابد میزان استخراج رنگدانه بیشتر می‌شود و بیشترین استخراج در pH برابر ۵ مشاهده گردید. در زمان ثابت

۲۰ دقیقه هرچه دما افزایش می‌یابد میزان استخراج رنگدانه بتاگزانتین بیشتر می‌شود.



شکل ۶- اثرات متقابل pH و دما بر استخراج رنگدانه بتاگزانتین در (الف) زمان ثابت ۱۰ دقیقه (ب) زمان ثابت ۱۵ دقیقه و (ج) زمان ثابت ۲۰ دقیقه

Fig6- The interaction of independent variables on extraction of β -Xanthine in A) 10 min B) 15 min and C) 20 min

در بررسی اثر متغیرهای فرآیند روی میزان استخراج بتاگزانتین دما تاثیر معنی‌داری روی استخراج بتاگزانتین ندارد، با این حال با افزایش دما محتوای بتاگزانتین افزایش می‌یابد زیرا مقدار رنگدانه استخراج شده به وسیله فراصوت با دما تغییر پیدا می‌کند. این به دلیل اثر حفره سازی روی تورم و بزرگ شدن خلل و فرج در مواد است که کارایی استخراج را افزایش می‌دهد. افزایش دما، کشش سطحی و ویسکوزیته حلال را کاهش می‌دهد. بنابراین نه تنها روی حفره سازی فراصوت بلکه همچنین روی سرعت انتقال جرم نیز اثر می‌گذارد. نتایج بدست آمده از پژوهش نشان داد که زمان استخراج بسیار مهم است به دلیل اینکه اگر بیش از حد کوتاه یا بیش از حد طولانی باشد احتمالاً باعث عدم استخراج شایسته ترکیبات یا تجزیه آنها می‌گردد و بهترین دما برای استخراج دمای ۲۰ درجه نشان داده شده است. همچنین افزایش pH باعث افزایش رنگدانه بتاگزانتین می‌شود زیرا بتاگزانتین‌ها در شرایط خنثی بیشترین بازدهی را دارند.

معتبرسازی مدل

برای تایید صحت شرایط بهینه شده، مقایسه نتایج آزمایشگاهی و مقادیر پیش‌بینی شده پاسخ‌های مورد بررسی بر اساس نقطه بهینه پیشنهادی توسط الگوریتم بهینه سازی روش سطح پاسخ از طریق آزمون تی استیودنت؛ بیانگر عدم اختلاف معنی‌دار در سطح احتمال ۵٪ بود. جدول ۴، مقادیر میانگین بازده، بتاسیانین و بتاگزانتین آزمایشگاهی و پیش‌بینی شده بدست آمده در نقاط بهینه را نشان می‌دهد.

جدول ۴- مقادیر بتاگزانتین، بتاسیانین و بازده پیش‌بینی شده و آزمایشگاهی به دست آمده در نقطه بهینه

Table 4- Experimental and predicted values of yield, β -Cyanine and β -Xanthine in optimum points

Experimental Yield	Predicted Yield (%)	مقادیر پیش‌بینی شده بازده (وزن ریشه چندگاهی/وزن عصاره)	Experiment ed β -Cyanine (μg/g)	Predicted β -Cyanine (μg/g)	مقادیر آزمایشگاهی بتاگزانتین β -Xanthine (μg/g)	مقادیر آزمایشگاهی بتاگزانتین β -Xanthine (μg/g)	سطوح بهینه پارامترهای فرآیند		
							مقادیر پیش‌بینی شده بتاگزانتین β -Xanthine (μg/g)	مقادیر پیش‌بینی شده بتاگزانتین β -Xanthine (μg/g)	Parameter levels for optimum point
± ۳/۲۶ ^a	۹۱/۲۶ ^a	± ۰/۲۱ ^a	۲/۲۹۸ ^a	۱/۰±۷۷/۱۴ ^a	۱/۸۳۷ ^a	۲۰	۲۱	۵	pH
۸۹/۲۰		۲/۱۱۲							Temperature

حرروف غیر مشترک در هر ردیف بیانگر تفاوت معنی‌دار بر اساس آزمون T-Test در سطح احتمال ۵ درصد است.

Different letters in each row indicate significant difference at 5% level of the T test.

نتیجه‌گیری

در این تحقیق نتایج به طور کلی نشان داد هر چه میزان pH و زمان فرآیند استخراج افزایش یابد، استخراج بتاسیانین و بتاگزانتین نیز افزایش می‌یابد همچنین برای استخراج رنگدانه‌های بتاسیانین بهتر است از دماهای کمتر از ۲۵ درجه سانتی‌گراد استفاده شود زیرا رنگدانه‌های بتاسیانین به حرارت بالا حساس هستند و در دماهای بالاتر از ۲۵ درجه سانتی‌گراد تخریب می‌شوند. در این پژوهش در pH برابر ۵، دمای ۲۱ درجه سانتی‌گراد و زمان ۲۰ دقیقه حداقل بازدهی مشاهده شد. مقایسه مقادیر بدست آمده آزمایشگاهی و مقادیر پیش‌بینی شده پاسخ مورد بررسی در نقطه بهینه پیشنهادی الگوریتم بهینه سازی از طریق آزمون تی استیودنت، بیانگر عدم اختلاف معنی‌دار در سطح احتمال ۵٪ بود. با

توجه به نتایج حاصل شده از این پژوهش می‌توان استخراج به کمک دستگاه فراصوت را روشی کارآمد و سریع دانست. استخراج بتالائین از چغندر قرمز به کمک دستگاه فراصوت به دلیل کاهش زمان، دما، انرژی مصرفی، کاهش مصرف حلال و به طبع آن کاهش هزینه بازیابی روشی اقتصادی است که می‌تواند جایگزین روش‌های متداول استخراج در صنعت گردد.

منابع

چنگیزی آشتیانی، رمضانی، پورچراغی، افضلی، پیروزی، پرنده، آتشی، سینا زارعی، ۲۰۱۹. بررسی اثربخشی گیاه نسترن

کوهی (Rosa Canina L) در برخی از بیماری‌ها (یک مطالعه مروی). مجله دانشگاه علوم پزشکی

اراک. ۲۲(۵)، pp.6-17.

رنجبر ندامانی، آ. (۱۴۰۰). افزایش پایداری رنگدانه‌های طبیعی مواد غذایی - مقاله مروی، اپژوهش و نوآوری در علوم

و صنایع غذایی ۱۲۳۵. doi: 10.22101/JRIFST.2022.277772.10(4), pp. 369-388.

ظهوری، آ.، طباطبایی یزدی، ف.، مرتضوی، س. ع. و شهیدی، ف.، ۱۳۹۵، بررسی و مقایسه میزان بازدهی و

استخراج ترکیبات رنگی و طبیعی چغندر قرمز با استفاده از روش‌های عصاره گیری خیساندن و فراصوت،

فصلنامه علوم و صنایع غذایی، ۱۳، ۵۲، ۴۷-۵۴.

فخاری زواره، ع. و باقی پور، س.، ۱۳۸۸، استخراج ماده رنگزای غذایی از چغندر قرمز و بررسی شرایط پایداری آن،

نشریه علمی - پژوهشی علوم و فناوری رنگ، ۳، ۲۵۰-۲۴۳.

کوشش، س. و گلمکانی، م.ت.، ۱۳۹۴، بهینه سازی شرایط استخراج بتالائین از چغندر قرمز به کمک مایکروویو و

ارزیابی فعالیت آنتی اکسیدانی عصاره حاصل، نشریه فرآوری و نگهداری مواد غذایی، ۷، ۲، ۳۹-۶۰.

Aberoumand, A., 2011, A review article on edible pigments properties and sources as natural biocolorants in foodstuff and food industry. World J Dairy Food Sci, 6(1), 71-78.

Bas, D., & Boyac, I., 2007, Modeling and optimization II: Comparison of estimation capabilities of response surface methodology with artificial neural networks in a biochemical reaction. Journal of Food Engineering, 78, 846-854.

- Cardoso-Ugarte, G., Sosa-Morales, M., Ballard, T., Liceaga, A., & San Martín-González, M., 2014, Microwave-assisted extraction of betalains from red beet (*Beta vulgaris*). *LWT-Food Science and Technology*, 59(1), 276-282 .
- De Sotillo, D. R., Hadley, M., & Holm, E., 1994, Phenolics in aqueous potato peel extract: extraction, identification and degradation. *Journal of Food Science*, 59(3), 649-651.
- Delgado-Vargas, F., Jiménez, A., & Paredes-López, O., 2000, Natural pigments: carotenoids, anthocyanins, and betalains—characteristics, biosynthesis, processing, and stability. *Critical reviews in food science and nutrition*, 40(3), 173-289.
- Downham, A., & Collins, P., 2000, Colouring our foods in the last and next millennium. *International journal of food science & technology*, 35(1), 5-22.
- Escribano, J., Pedreño, M.A., García-Carmona, F., & Muñoz, R., 1998, Characterization of the antiradical activity of betalains from *Beta vulgaris* L. roots. *Phytochemical Analysis: An International Journal of Plant Chemical and Biochemical Techniques*, 9(3), 124-127.
- Hendry, G.A.F., & Houghton, J., 1996, *Natural food colorants*: Springer Science & Business Media.
- Laqui-Vilca, C., Aguilar-Tuesta, S., Mamani-Navarro, W., Montaño-Bustamante, J., & Condezo-Hoyos, L., 2018, Ultrasound-assisted optimal extraction and thermal stability of betalains from colored quinoa (*Chenopodium quinoa* Willd) hulls. *Industrial Crops and Products*, 111, 606-614.
- Lee, W., Yusof, S., Hamid, N., & Baharin, B., 2006, Optimizing conditions for hot water extraction of banana juice using response surface methodology (RSM). *Journal of food engineering*, 75(4), 473-479.
- Maran, J.P., Manikandan, S., & Mekala, V., 2013, Modeling and optimization of betalain extraction from *Opuntia ficus-indica* using Box–Behnken design with desirability function. *Industrial Crops and Products*, 49, 304-311.
- Pavlov, A., Georgiev, V., & Ilieva, M., 2005, Betalain biosynthesis by red beet (*Beta vulgaris* L.) hairy root culture. *Process Biochemistry*, 40(5), 1531-1533.
- Righi Pessoa da Silva, H., da Silva, C. and Bolanho, B.C., 2018. Ultrasonic- assisted extraction of betalains from red beet (*Beta vulgaris* L.). *Journal of food process engineering*, 41(6), p.e12833.
- Stintzing, F.C., & Carle, R., 2004, Functional properties of anthocyanins and betalains in plants, food, and in human nutrition. *Trends in Food Science & Technology*, 15(1), 19-38.